

## 伸縮継手部を通過する單一走行車両による道路橋の応答解析

長崎大学大学院 学生員 ○山野 長弘

長崎大学工学部 学生員 小藤 輝正

長崎大学工学部 正員 因林 隆敏

1.はじめに 走行車両による道路橋の振動は様々な要因によるが、主な要因として路面凹凸と伸縮継手部凹凸等の路面の不整である。路面凹凸に起因する道路橋の振動については、ほぼ解析手法は確立したものへと芳えられるが、伸縮継手部凹凸についてはその評価が十分であるとは言えない。そこで本研究では、伸縮継手部凹凸を非定常確率過程<sup>(2)(3)</sup>でモデル化し、さらに走行車両を1自由度系と2軸車両系でモデル化して、継手部を通過する車両による橋梁振動解析の手法を提案する。さらに継手部凹凸実測データを用いてシミュレーションにより継手部凹凸モデルの妥当性を検討すると共に、段差位置、車両モデル等が橋梁振動に及ぼす影響について考察を行う。

2.伸縮継手部凹凸のモデル化 伸縮継手部凹凸をその区間で定義される非定常確率過程<sup>(2)</sup>でモデル化する。このような非定常確率過程を図-1に示すように任意のパワーを有する定常確率過程 $r(t)$ と継手部凹凸の標準偏差の変化を表す確定関数 $g(x)$ との積によることで表わされたものと仮定して、次式で表わす。

$$r(t) = g(x) \cdot n(t) \quad (1)$$

(1) 継手部凹凸の分散 図-2の実線は実測データ340本の凹凸の標準偏差の変化を最大値で規準化したものである。これを最小2乗法により次の正弦関数で近似する。Aは振幅、入は継手部の区間長である。 $g(x) = A \cdot \sin(\pi x / \lambda) \quad (2)$  同じく $g(x)$ として高次関数で近似させることもできる。正弦関数の場合 $A = 0.87$ になる。ここでは、最も簡単なモデルである(2)式を採用する。

(2) 定常過程のスペクトル 非定常過程 $r(t)$ は、次式により定常化される。 $n(t) = r(t) / g(x) \quad (3)$

継手部凹凸の特徴から高次の振動数成分より低次の振動数成分で構成されるものとして、凹凸を周期 $\lambda$ で表わされるフーリエ級数で表わす。 $n(x) = \sum_{k=0}^{\infty} \{a_k \cos(k\pi x / \lambda) + b_k \sin(k\pi x / \lambda)\} \quad (4)$

図-3の実線はこのよう式で表わされる $n(x)$ のパワースペクトル密度である。このパワースペクトル密度を次式で表わす。

$$S_n(\Omega) = 2 \cdot \alpha \cdot S_0 / (\Omega^2 + \alpha^2) \quad (5) \quad \alpha, S_0 \text{ は } S_n(\Omega)$$

のパラメータである。これらのパラメータを最小2乗法の原理に基づいて Marguardt 法により決定する。図-3の点線はこうして求めた $\alpha = 0.243, S_0 = 0.190$ を用いた時のパワースペクトル密度である。この場合、定常確率過程 $n(t)$ は次式で与えられる確率微分方程式の解過程で表わされる。 $n(t) + \beta \cdot n(t) = w(t) \quad (6)$

ここに、 $w(t)$ は平均値0、パワースペクトル密度 $S_w$ のガウス白色雑音過程である。車両速度を $V$ とすれば、 $\beta = 2\pi V \alpha$ 。

$S_w = (2\pi) \cdot V (2\alpha S_0), \Omega_w^2 = 2\pi S_w$  の関係がある。

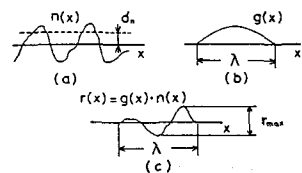


図-1 継手部凹凸の非定常確率過程モデル

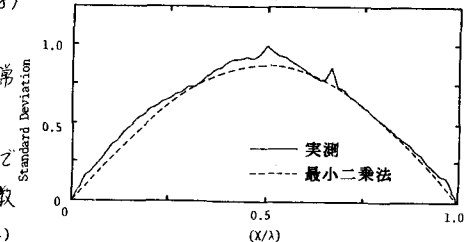


図-2 継手部凹凸の標準偏差

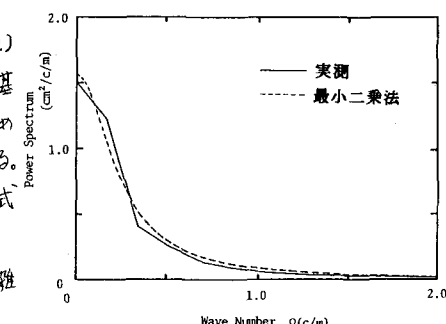


図-3 継手部凹凸のパワースペクトル密度

3.橋梁の不規則応答解析 橋梁の力学モデルを1自由度系とし、そのため応答を基準関数 $y(x)$ と基準座標 $g(t)$ で $y(x, t) = y(x) \cdot g(t)$ と表わし、また車両の変位を $x(t)$ と表わす。このとき橋梁-車両-凹凸系の状態変数を、 $Y(t) = \{y(t), \dot{y}(t), x(t), \dot{x}(t), n(t)\}^T$ と表わし、この共分散行列を $R(t)$ と定義すれば共分散方程式は次式となる。

$$\dot{R}(t) = A(t) \cdot R(t) + R(t) \cdot A(t)^T + Q(t) \quad (7)$$

$$R(t_0) = R_0$$

$$A(t) = \begin{pmatrix} 0 & 1 & 0 & 0 & 0 \\ 0 & 0 & 1 & 0 & 0 \\ 0 & 0 & 0 & 1 & 0 \\ 0 & 0 & 0 & 0 & -\beta \\ 0 & 0 & 0 & 0 & 0 \end{pmatrix}, \quad Q(t) = \begin{pmatrix} 0 & 0 & 0 & 0 & 0 \\ 0 & Q_{22} & 0 & Q_{44} & Q_{55} \\ 0 & 0 & 0 & 0 & 0 \\ 0 & Q_{22} & 0 & Q_{44} & Q_{55} \\ 0 & Q_{22} & 0 & Q_{44} & 1 \end{pmatrix} \cdot \Omega_w^2$$

$$Q_{11} = -(w^2 + \omega_0^2 \cdot R \cdot \varphi(Vt)^2), \quad Q_{22} = -(2hw_0 + 2h\omega_0 \cdot R \cdot \varphi(Vt)^2)$$

$$Q_{33} = \omega_0^2 \cdot R \cdot \varphi(Vt), \quad Q_{44} = 2h\omega_0 \cdot R \cdot \varphi(Vt), \quad Q_{55} = -R \cdot \varphi(Vt) \{ 2h\omega_0 \cdot \dot{\varphi}(t) + (\omega_0^2 - 2h\omega_0 \cdot \beta) \cdot \varphi(t) \}, \quad Q_{11} = w^2 \cdot \varphi(Vt), \quad Q_{22} = 2h\omega_0 \cdot \varphi(Vt),$$

$$Q_{33} = -\omega_0^2, \quad Q_{44} = -2h\omega_0, \quad Q_{55} = 2h\omega_0 \cdot \dot{\varphi}(t) + (\omega_0^2 - 2h\omega_0 \cdot \beta) \cdot \varphi(t), \quad Q_{22} = (2h\omega_0 \cdot \varphi(t))^2, \quad Q_{44} = Q_{55} = (2h\omega_0 \cdot R \cdot \varphi(Vt) \cdot \dot{\varphi}(t))^2, \quad Q_{33} = Q_{55} = 2h\omega_0 \cdot R \cdot \varphi(Vt) \cdot \dot{\varphi}(t),$$

ここに  $h$ ,  $\omega_0$  は車両の減衰定数と固有円振動数,  $R$ ,  $w$  は橋梁の減衰定数と固有円振動数,  $R = \int_0^L \rho \cdot \varphi(x)^2 dx$ ,  $\rho$  は単位長さ当たりの質量,  $L$  は支間長である。ここで継手部凹凸を図-5 a), b) のよう考へる。case I の場合

凹凸モデルと橋梁の応答が分離できランダム初期値問題として処理できる。

車両が継手部を通過した後は  $r(t) = 0$  とする。

表-1 走行車両の諸元

| 総重量 W                | 20.0 (ton)   |
|----------------------|--------------|
| 固有振動数 f <sub>n</sub> | 3.0 (Hz)     |
| 減衰定数 h               | 0.03         |
| 走行速度 V               | 10.0 (m/sec) |

表-2 道路橋の諸元

| スパン長 L (m) | 総重量 W ( $\times 10^3$ kg) | 曲げ剛性 EI ( $\times 10^{12}$ kg·cm) | 固有振動数 f <sub>n</sub> (Hz) |
|------------|---------------------------|-----------------------------------|---------------------------|
| 40         | 10.68                     | 24.41                             | 2.94                      |

340本のデータについて、車両による橋梁振動を Runge-Kutta-Gill 法で各々計算し、それらについて標準偏差を計算する。

5. 数値計算上差異 数値解析に用いた車両と橋梁の諸元を表-1, 表-2 に示す。図-6, 図-7 は 1 自由度系, 2 軸車両系モデルに対する橋梁の変位応答を静的ための最大値で規準化した結果を示している。図において点線がシミュレーションを、実線が不規則解析による応答を示している。

(1) シミュレーションとの比較 不規則応答解析より求めた変位応答よりシミュレーションとほぼ同程度の応答となっていた。このことから継手部凹凸のモデルとして(1)式は可能であり不規則応答解析により橋梁振動を十分評価できるものと思われる。

(2) 網差モデル 網差モデルとして図-5 の a), b) を考へたが、より実際の継手部位置に近いと思われる Case 2 の方が Case 1 の場合よりも大きくなっている。この傾向は不規則応答解析の結果にも見られる。

(3) 車両モデル 1 自由度系車両モデルの方が 2 軸車両モデルよりも大きな応答となっていたが、実際の大型車のモデルとしては、2 軸車両モデルの方が適当であると思われる。

6. 最後に シミュレーションの計算にあたり、貴重な資料を提供して下さった金沢工業大学の本田秀行先生に深く感謝の意を表します。

[参考文献] (1) 上木学年編: 構造物の安全性、信頼性、土木学会、1975年

(2) 岡林、土木学会論文報告集、No. 286号、1979年6月 (3) 岡林、土木学会論文報告集、No. 334号、1983年6月

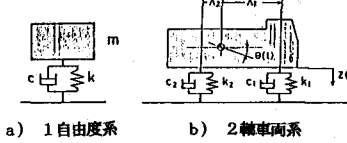


図-4 車両モデル

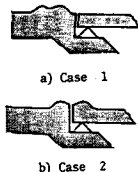
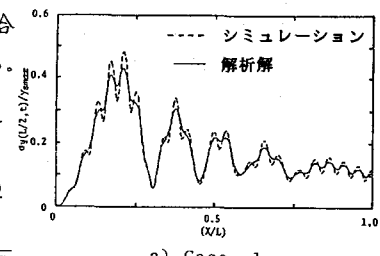
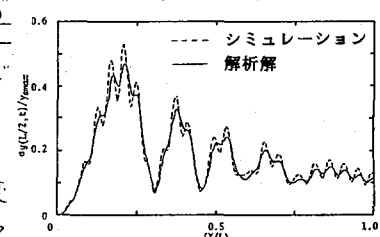


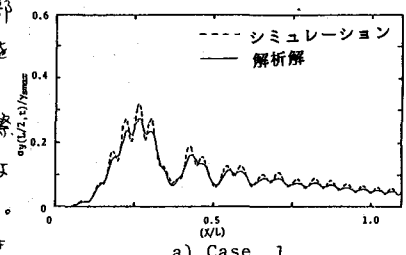
図-5 段差位置モデル



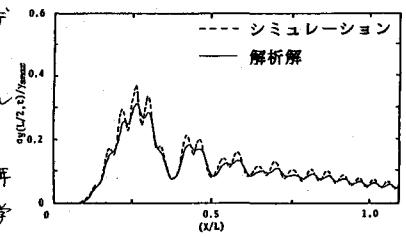
a) Case 1



b) Case 2



a) Case 1



b) Case 2

図-7 2軸車両系による橋梁の変位応答